Билет №9

1) Гармоническая линеаризация. Эквивалентная линейная система. Определение параметров колебаний на выходе эквивалентной системы. Эквивалентный коэффициент усиления. Описывающая функция и разложение в ряд Фурье.

9.2.2. Метод гармонической линеаризации

Под линеаризацией понимают приближенную замену нелинейной функции линейной таким образом, чтобы по какому-то выбранному показателю обе эти функции совпадали.

нейный элемент

В способе гармонической линеаризации нелинейный элемент (рис. 9.4) заменяется квазилинейным звеном, параметры которого определяются при синусоидальном входном сигнале

$$\Delta = A\sin(\omega t) \tag{9.5}$$

из условия равенства амплитуд первых гармоник на выходе нелинейного элемента и эквивалентного ему линейного звена.

Рассмотрим процедуру линеаризации для нелинейного элемента, уравнение которого имеет вид

$$u = f(\Delta, \dot{\Delta}) . \tag{9.6}$$

При поступлении на его вход гармонического сигнала (9.5) на выходе звена в установившемся режиме также будет периодический, но несинусоидальный сигнал

$$u = f[A\sin(\omega t), A\omega\cos(\omega t)] = f(A, \omega t). \tag{9.7}$$

Разложим его в ряд Фурье [11] и получим

$$u = u_0 + \sum_{k=1}^{\infty} \left[b_k \sin(k\omega t) + c_k \cos(k\omega t) \right], \tag{9.8}$$

где будем полагать $u_0 = 0$, что справедливо для симметричной нелинейной характеристики (9.6).

С учетом (9.7) коэффициенты ряда Фурье (9.8) определяются известными соотношениями

$$\begin{cases} b_k = \frac{1}{\pi} \int_0^{2\pi} f(A, \omega t) \sin(k\omega t) d(\omega t), \\ c_k = \frac{1}{\pi} \int_0^{2\pi} f(A, \omega t) \cos(k\omega t) d(\omega t). \end{cases}$$

Используем только первые члены ряда разложения в (9.8), пренебрегая высшими гармониками, и получим

$$u \approx b_1 \sin(\omega t) + c_1 \cos(\omega t)$$
. (9.9)

Учтем, что $\Delta = A\sin(\omega t)$, а $\dot{\Delta} = A\omega\cos(\omega t)$, следовательно,

$$\begin{cases} \sin(\omega t) = \frac{\dot{\Delta}}{A}, \\ \cos(\omega t) = \frac{\dot{\Delta}}{A\omega}. \end{cases}$$
(9.10)

После подстановки (9.10) в (9.9) получим выражение для выходного сигнала нелинейного звена

Как видим, уравнение нелинейного звена (9.12) с точностью до высших гармоник является квазилинейным. При постоянных значениях амплитуды входного сигнала А коэффициенты гармонической линеаризации $q_1(A,\omega)$ и $q_2(A,\omega)$ являются постоянными. Однако различным значениям амплитуды A соответствуют разные коэффициенты $q_1(A,\omega)$ и $q_2(A,\omega)$. В этом заключается отличие гармонической линеаризации от обычной (см. разд. 8).

Таким образом, вместо нелинейного элемента с характеристикой (9.6) можно рассматривать эквивалентное линейное звено, поведение которого описывается уравнением (9.12). Оно может быть представлено в операторной форме

$$u = \left[q_1(A, \omega) + \frac{q_2(A, \omega)}{\omega} p \right] \Delta. \tag{9.13}$$

Для гармонически линеаризованного нелинейного элемента можно записать передаточную функцию

$$W_{\text{HS}}(p, A, \omega) = \frac{u}{\Delta} = q_1(A, \omega) + \frac{q_2(A, \omega)}{\omega} p$$
 (9.14)

$$W_{\text{H3}}(A, j\omega) = q_1(A, \omega) + jq_2(A, \omega)$$
. (9.15)

которое, если принять обозначения

$$\begin{cases} q_1(A, \omega) = \frac{b_1}{A}, \\ q_2(A, \omega) = \frac{c_1}{A}, \end{cases}$$
 (9.11)

можно записать в виде

$$u = q_1(A, \omega)\Delta + \frac{q_2(A, \omega)}{\omega}\dot{\Delta}. \tag{9.12}$$

3десь $q_1(A,\omega)$ и $q_2(A,\omega)$ – коэффициенты гармонической линеаризации.

В случае статической нелинейной характеристики вместо (9.6)

$$u = f(\Delta)$$

и уравнение (9.13) принимает вид [1]

$$u = \left[q_1(A) + \frac{q_2(A)}{\omega} p \right] \Delta, \qquad (9.16)$$

где коэффициенты гармонической линеаризации $q_1(A)$ и $q_2(A)$ зависят только от амплитуды. При этом получим передаточную функцию

$$W_{\text{H3}}(p, A, \omega) = q_1(A) + \frac{q_2(A)}{\omega}p$$
 (9.17)

и частотную характеристику

$$W_{\text{HD}}(A, j_{\odot}) = q_1(A) + jq_2(A)$$

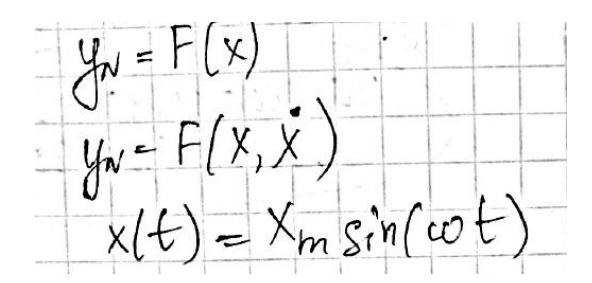
статического нелинейного звена.

Для однозначной статической нелинейной характеристики ко-(9.17) эффициент $q_2(A) = 0$, и вместо (9.15) получим

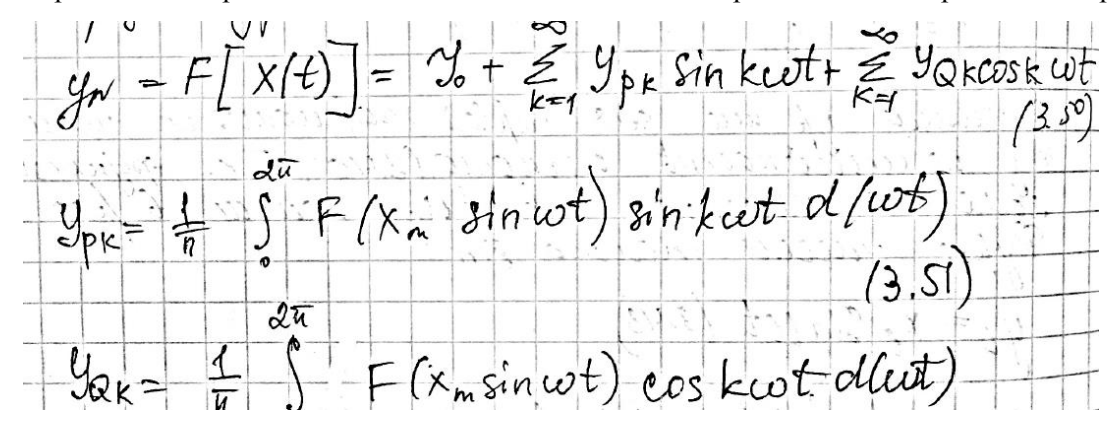
$$W_{\text{H3}}(A, j\omega) = q_1(A)$$
. (9.19)

Коэффициенты гармонической линеаризации типовых статических нелинейных звеньев приводятся в литературе (например,

1. Описывающая функция:



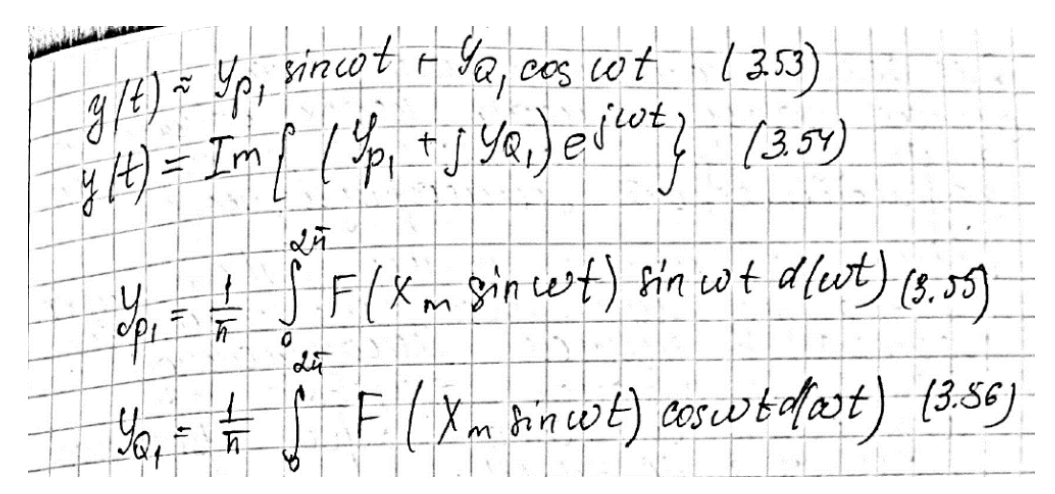
Периодический процесс на выходе НЛ элемента может быть представлен в виде разложения в ряд Фурье



В общем случае, они зависят как от амплитуды входного сигнала Xm, так и от частоты w (это для 2 Ypk).

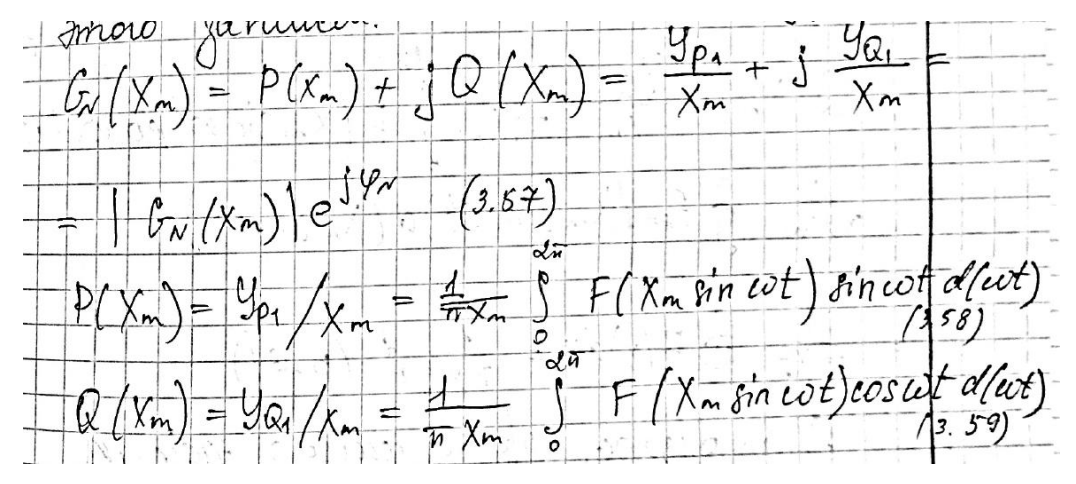
Для ненагруженных элементов (без среднего сигнала и внешних возмущений) Y_0 =0 (т.е. смещения сигналов на вх/вых нет). После гармонической линеаризации вх. сигнала $y_N(t)$, должны быть получены аппроксимации в виде разложения в ряд Фурье.

Т.е. верхняя сумма синусоид (нелинейный ряд фурье 3.50 – какая то постоянная величина плюс сумма гармоник). На выходе должны получить при нулевом смещении Y0=0 (3.53) – в котором учитываются только первые линейные гармоники. Далее переводим все в комплексную форму ($\sin + \cos = e$ с какой то степенью).



Последние два уравнения это коэффициенты в 3.53 — скалярные произведения в пространстве функций нашей изображающей функции, которую линеаризуем F(x) на наш синус и на наш косинус.

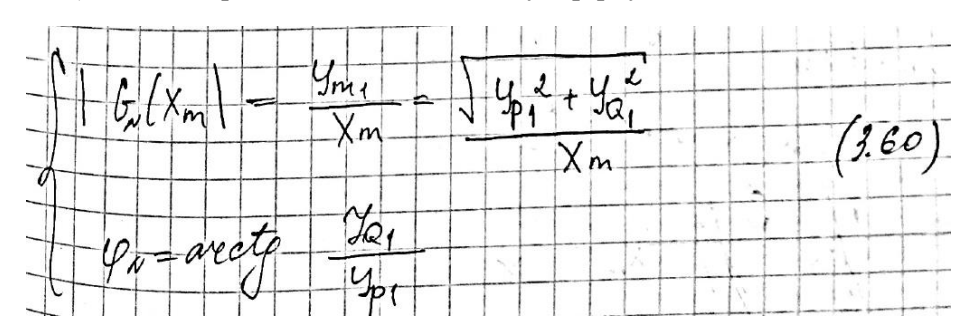
2. Эквивалентный коэффициент усиления G_N : находится как отношение первых гармоник выхода ко входу. Для этого запишем:



 Γ де Y_{P1} и Y_{Q1} – коэффициенты гармонической линеаризации.

Коэффициент усиления это отношение выхода ко входу. А выход и вход мы приняли линейными гармониками, значит это отношение линейных гармоник. Дальше посчитали, поделили одну на другую, написали чему это равно.

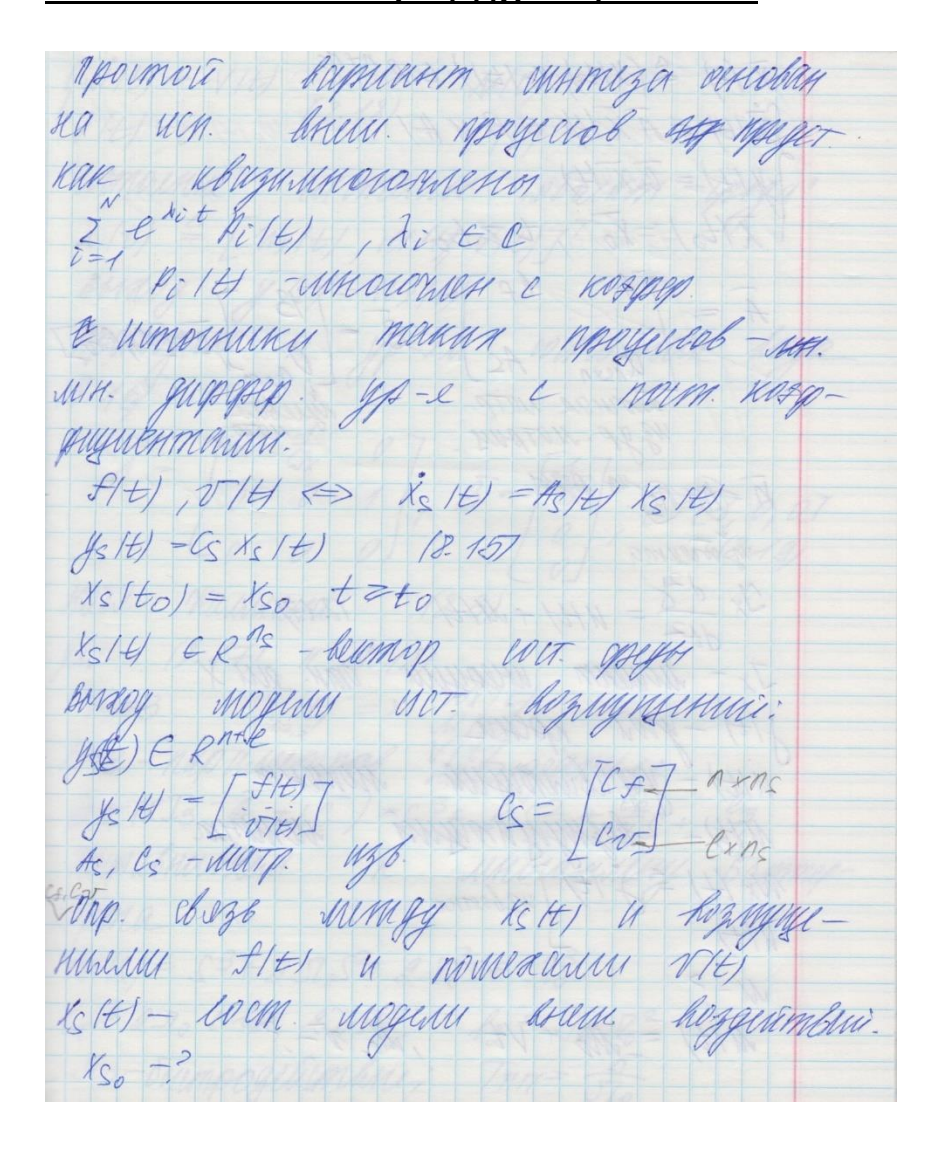
Выход у(t) вход х(t). В конце переводим в экспоненциальную форму. 3.57.

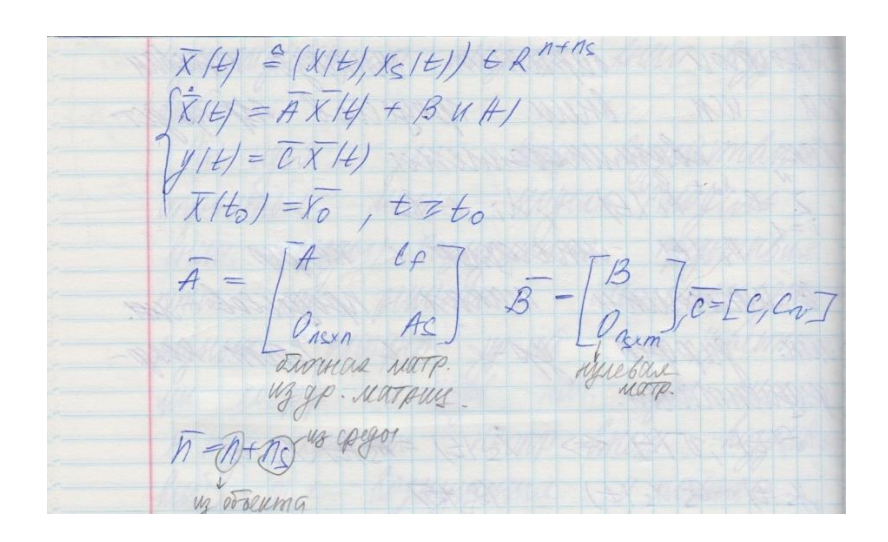


Из (3.60) следует, что для безынерционных НЛ меняется зависимость только от амплитуды $X_{\scriptscriptstyle M}$ входного сигнала, но не от его частоты.

2) Оценивание возмущений, модель внешней среды, квазимногочлены, процедура оценивания, модель углового движения искусственного спутника Земли по крену и оценка возмущающего момента. Анализ результатов моделирования.

Квазимногочлены. Процедура оценивания





Модель углового движения ИСЗ по крену и оценка возмущающего момента. Анализ результатов моделирования

Рассмотрим упрощенную модель углового движения искусственного спутника Земли (ИСЗ) по крену

$$J_x \frac{d^2 \gamma}{dt^2} = u(t) + M(t), \tag{8.17}$$

где J_x – момент инерции ИСЗ относительно продольной оси, $\gamma(t)$ – угол крена, u(t) – управляющий момент, M(t) – возмущающий момент. Пусть доступна измерению угловая скорость крена $\omega_x(t) \stackrel{\Delta}{=} \dot{\gamma}(t)$. Значения u(t) также считаются известными. Подлежит оцениванию неизмеряемый момент возмущений M(t). Будем полагать его линейной функцией времени $M(t) = M_0 + Vt$, причем M_0 , V – неизвестные величины.

Этот процесс можно представить как решение системы однородных дифференциальных уравнений

$$\begin{cases}
\dot{M}(t) = V(t), \\
\dot{V}(t) = 0
\end{cases}$$
(8.18)

с неизвестными начальными условиями M(0), V(0). Введем вектор состояния системы "объект – среда" $\bar{x}(t) \stackrel{\Delta}{=} [\omega_x(t), M(t), V(t)]^T$. Выход системы $\bar{y}(t) = \omega_x(t)$. Таким образом, приходим к уравнениям состояния вида (8.16), в которых

$$\bar{A} = \begin{bmatrix} 0 & \frac{1}{J_x} & 0\\ 0 & 0 & 1\\ 0 & 0 & 0 \end{bmatrix}, \quad \bar{B} = \begin{bmatrix} \frac{1}{J_x}\\ 0\\ 0 \end{bmatrix}, \quad \bar{C} = [1, 0, 0]. \tag{8.19}$$

Обратимся к синтезу наблюдателя. Наблюдатель полного порядка (8.3) для системы (8.17), (8.18) имеет размерность $\bar{n}=3$. Переменные состояния наблюдателя $\bar{x}_1(t), \ \bar{x}_1(t), \ \bar{x}_1(t)$ служат оценками переменных $\omega_x(t), \ M(t), \ V(t)$ соответственно. Для определения трехмерного вектора параметров L наблюдателя найдем характеристический многочлен $\det(s\mathbf{I}_3-\bar{A}+L\bar{C})=s^3+l_1s^2+\frac{l_2}{J_x}s+\frac{l_3}{J_x}$. Приравняв его к стандартному многочлену Баттерворта $A_{\mathrm{H}}(s)=s^3+2\Omega_0s^2+2\Omega_0^2s+\Omega_0^3$, получим выражения для $l_i:l_1=2\Omega_0, \quad l_2=2J_x\Omega_0^2, \quad l_3=J_x\Omega_0^3$. Параметр Ω_0 задает быстродействие наблюдателя. Время переходного процесса составляет примерно $5/\Omega_0$. В развернутой форме уравнения наблюдателя (8.3) принимают в данном случае вид

$$\begin{cases}
\dot{\hat{\omega}}_{x}(t) &= -l_{1}\hat{\omega}_{x}(t) + \hat{M}(t)/J_{x} + l_{1}\omega_{x}(t) + u(t)/J_{x}, \\
\dot{\hat{M}}(t) &= -l_{2}\hat{\omega}_{x}(t) + \hat{V}(t) + l_{2}\omega_{x}(t), \\
\dot{\hat{V}}(t) &= -l_{3}\hat{\omega}_{x}(t) + l_{3}\omega_{x}(t).
\end{cases} (8.20)$$